

**TEKTONIKA WEWNĘTRZNA MASYWU SERPENTYNITOWEGO
 SZKLAR ZĄBKOWICKICH**

UKD 551.243:552.47(438.26:234.87 Szklary Ząbkowickie)

Masyw Szklar rozciąga się wzdłuż wschodniej granicy bloku sowiogórskiego w obrębie lineamentu Niemczy, około 4 km na N od Ząbkowic Śląskich. Zbudowany jest głównie z serpentynitów, dla których skałami wyjściowymi były odmiany perydotytu i dunitu (3). Masyw ma bogatą dokumentację petrograficzno-złożową. Podsumowanie tych wyników zawiera praca J. Niśkiewicza (3). Dotychczasowe interpretacje tektoniczne oparte są na pracach kartograficzno-wiertniczych (3) i geofizycznych (4) i dotyczą granicy masywu z osłoną. Ma ona przebieg nieregularny a kontakty z osłoną są zarówno zgodne, jak niezgodne i powstały podczas wspólnego fałdowania masywu ze skałami osłony.

Poniżej zostały podane wstępne wyniki podjętych przez autora prac tektonicznych opartych na analizie rys tektonicznych. Mają one na celu, między innymi, odtworzenie orientacji kierunków strukturalnych panujących w czasie powstawania rys. Najbardziej praktyczna w analizach tektonicznych jest znajomość orientacji osi B elipsoidu deformacji. W tym przypadku znajdujemy ją korzystając z prostej zależności; oś B i oś A (rysy tektoniczne) są do siebie prostopadłe i leżą w jednej płaszczyźnie.

Rysy tektoniczne w serpentynitach masywu Szklar rozwijają się w układzie trójwarstwowym serpentynit — powłoka chryzotyłowa — serpentynit, co umożliwiła jednoznaczna interpretacja (2). Na spełnionych magnezytem nie ma rys tektonicznych. Wskazuje to na młodszy wiek magnezytu od wieku deformacji jakim podlegały serpentynity. Pomiarami objęto wszystkie wystąpienia serpentynitów na powierzchni. Uwzględniono przy tym tylko rysy leżące na dużych powierzchniach — minimum kilka m².

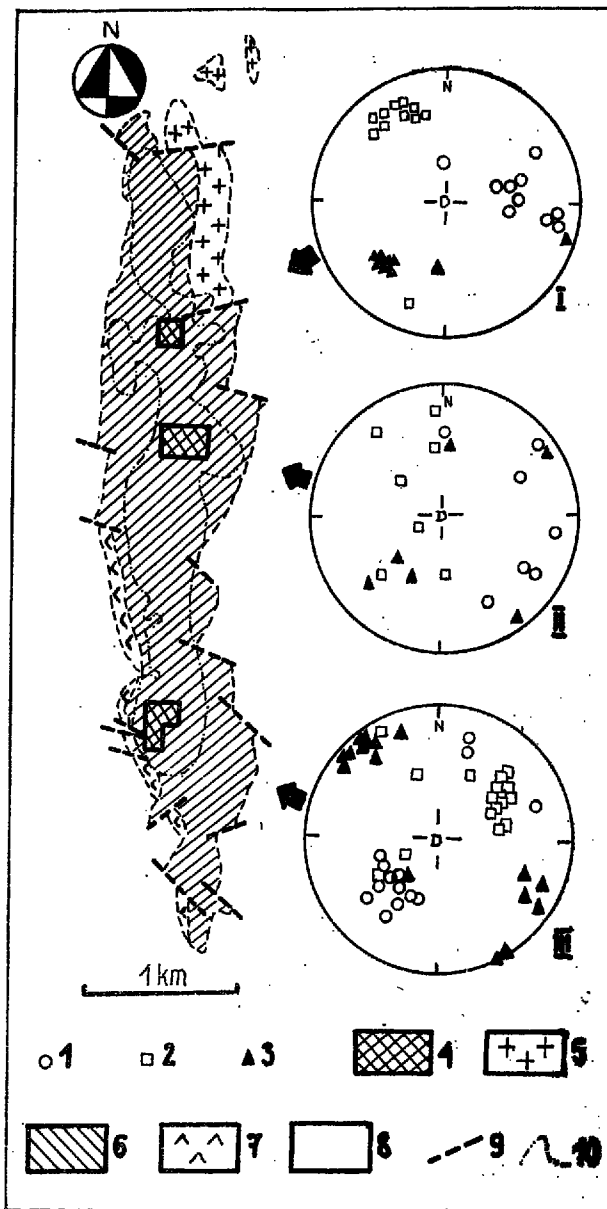
Wystąpienia serpentynitów grupują się na trzech obszarach zaznaczonych na ryc. Oddzielnie dla każdego obszaru wykonano diagramy zbiorcze powierzchni spełnień ścinających i występujących na nich rys tektonicznych. Na diagramach, dla każdej pary pomiarów (rysy i płaszczyzna, na której one leżą), wyznaczono oddzielnie oś B (ryc.).

W części północnej masywu oś B ma orientację 218—232/35 i jest zgodna z kierunkami osi struktur fałdowych w osłonie metamorficznej. W części środkowej przy charakterystycznej promienistej dyspersji kierunków nadal dominuje kierunek NE-SW, natomiast w części południowej masywu kierunki osi B mają ponownie jednorodną orientację 310—325/05 i 120/20, ale są ustawione pod kątem zbliżonym do kąta prostego do kierunków w osłonie. Taka orientacja wskazuje na niejednorodną deformację masywu. Przypuszczalnie jest ona związana z okresem powstawania szczeliny w bloku sowiogórskim, poprzecznej do jego krawędzi. Szczelinę tę wykorzystało prawdopodobnie gąbro Przedborowej — Kozienic. Na niejednorodność tę może mieć również wpływ nieregularny kształt masywu i różna jego miąższość (3, 4). Wnioski powyższe muszą być jednak poparte dalszymi wynikami podjętych prac.

Na podstawie porównania z pozycją tektoniczną bazytów masywu rBaszowice—Brzeźnica (1) deformację powyższą można łączyć ze schyłkową fazą fałdowania serii metamorficznych, przylegających od wschodu do bloku sowiogórskiego, i okresem intruzji gabr.

LITERATURA

1. Jamrozik L. — Tektonika gabr masywu gabrowo-serpentynitowego Braszowice — Brzeźnicy (Sudety). *Prz. geol.* 1975, nr 5.
2. Jaroszewski W. — Drobnostrukturne kryteria tektoniki obszarów nieorogenicznych na przykładzie północno-wschodniego obrzeżenia mezozoicznego Gór Świętokrzyskich. *Studia geol. pol. vol. 38*, 1972.



Rozrzut orientacji osi B wyznaczony z pomiarów rys ślizgowych. Mapa geologiczna masywu Szklar Ząbkowickich (3).

1—3 objaśnienia diagramów — D nadir, półkula dolna: diagram I — pom. 10, oś B 218—235/35, diagram II — pom. 6, diagram III — pom. 16, oś B 310—325/05 i 120/20. 1 — powierzchnie ślizgowe, 2 — rysy ślizgowe, 3 — osie B elipsoidu deformacji. 4—10 objaśnienia mapy: 4 — obszar objęty pomiarami tektonicznymi przedstawionymi na diagramach, 5 — granitoidy, 6 — serpentynity i skały metamorficzno-mylonityczne, 7 — amfibolity, 8 — gnejsy, 9 — przypuszczalne uskoki, 10 — granica głębna masywu serpentynitowego wg zdjęcia magnetycznego K. Stöcke (4).

3. Niśkiewicz J. — Budowa geologiczna masywu Szklar (Dolny Śląsk). *Rocz. Pol. Tow. Geol. T. 37, z. 3*, 1967.
4. Stöcke K. — Magnetische Z-Variometermessung am Serpentin von Frankenstein in Schlesien. *Gerland's Beitr. 1, Erg. H. angew. Geophysik, Leipzig*, 1931.